

## บทที่ 4

### ผลการทดลองและการวิเคราะห์ผล

#### 4.1 การทดสอบโครงสร้างของ $\text{TiO}_2$

การทดลองในขั้นตอนนี้คือการทดสอบความเหมาะสมของแบบจำลอง  $\text{TiO}_2$  ซึ่งแบบจำลองที่ถูกทดสอบมี 4 แบบดังแสดงในรูปที่ 3.2 การทดสอบคุณสมบัติทั้งหมดกระทำโดยการคุณซับของแพลทินัมในตำแหน่ง on-top บน  $\text{Ti}_c$

ผลการทดลองที่ได้ทั้งหมดในขั้นตอนนี้แสดงอยู่ในตารางที่ 4.1 ค่าพลังงานการคุณซับของพลาทินัมอะตอมบนแบบจำลองทั้ง 4 อุปกรณ์ในช่วง 2.2 ถึง 2.4 eV ค่าพลังงานการคุณซับที่คำนวณได้จากโครงสร้างที่เล็กที่สุด (surface 1) ไปยังโครงสร้างที่ใหญ่ที่สุด (surface 4) มีความแตกต่างกัน 4.85% ในขณะที่ค่าที่ได้จากการแบบจำลองที่ 2 และ 3 ต่างกันเกินกว่า 10% โดยที่ค่าพลังงานที่ได้จากการแบบจำลองที่ 3 มีค่ามากกว่าแบบจำลองอื่นๆ ค่อนข้างมาก ทั้งนี้อาจเนื่องจากผลของการซิเจนอะตอมในตำแหน่ง basal 4 อะตอมที่เพิ่มขึ้นมา ซึ่งออกซิเจนที่เพิ่มขึ้มนี้อาจทำหน้าที่จ่ายอิเล็กตรอนให้กับ  $\text{Ti}_c$  ตำแหน่งของพลาทินัมอะตอมที่ได้รับผลลัพธ์น้อยจากโครงสร้างของ  $\text{TiO}_2$  เช่นกันแต่ทั้งหมดก็อยู่ในช่วง 2.4 Å

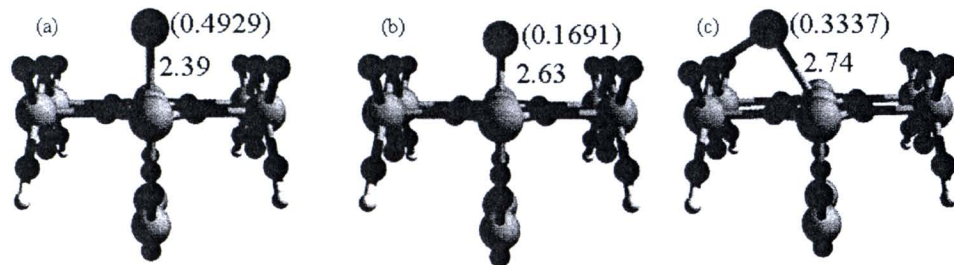
ตารางที่ 4.1 ค่าพลังงานการคุณซับของพลาทินัมอะตอมที่ตำแหน่ง on-top บน  $\text{TiO}_2$  ดังแสดงในรูปที่ 3.2

Surface	ค่าพลังงานของ surface (a.u.)	ค่าพลังงานของ surface กับ on-top Pt (a.u.)	ค่าพลังงานของการคุณซับ		ระยะห่างระหว่าง Pt และ $\text{Ti}_c$ ( $\text{\AA}$ )
			(a.u.)	(eV.)	
1	-2030.6370	-2149.7766	-0.0827	-2.25	2.3922
2	-2336.2434	-2455.3809	-0.0806	-2.19	2.4196
3	-2336.0059	-2455.1522	-0.0894	-2.43	2.3533
4	-4311.7823	-4430.9260	-0.0868	-2.36	2.3843
Pt	-119.0569				

ผลการทดลองสามารถสรุปได้ว่าพื้นผิวที่เล็กก็สามารถใช้เพื่อแทน  $\text{TiO}_2$  ได้ในระดับที่ใกล้เคียงกับพื้นผิวที่ได้รับการขยายออกไป (surface 4) ดังนั้นการทดลองในขั้นต่อไปจะใช้แบบจำลอง surface 1 เพื่อแทน  $\text{TiO}_2$  เพื่อการประหยัดเวลาที่ใช้ในการคำนวณ

## 4.2 การคุณภาพของพลาทินัมอะตอมบนไกเทเนียมไดออกไซด์

ผลการทดลองทางโครงสร้างที่เสถียรที่สุดของพลาทินัมอะตอมบนตำแหน่งต่างๆ บนพื้นผิว  $\text{TiO}_2$  แสดงอยู่ในรูปที่ 4.1 และตารางที่ 4.2 ค่าที่คำนวณได้จากการ DFT และ HF ระบุว่าตำแหน่งที่เสถียรที่สุดสำหรับพลาทินัมอะตอมบน  $\text{TiO}_2$  คือตำแหน่ง O hollow ซึ่งสอดคล้องกับการทดลองของ Iddir และคณะ [31 และ 32] โดยในงานดังกล่าวตำแหน่งที่เสถียรที่สุดสำหรับพลาทินัมอะตอมคือในตำแหน่ง O hollow ตำแหน่ง Ti hollow และ ตำแหน่ง on-top ตามลำดับ โดยมีค่าแรงดึงดูดอยู่ในช่วง 1.6 ถึง 2.6 eV



รูปที่ 4.1 โครงสร้างที่เสถียรของ  $\text{Pt}/\text{TiO}_2$  ที่ตำแหน่ง (a) on-top (b) Ti hollow และ (c) O hollow ตัวเลขที่อยู่ข้างๆ พันธะคือความยาวของพันธะและตัวเลขที่อยู่ในวงเล็บคือค่าประจุบนอะตอมซึ่งได้จากวิธี DFT

ตารางที่ 4.2 ค่าพลังงานคุณภาพของพลาทินัมบน  $\text{TiO}_2$  ที่ตำแหน่งต่างๆ

วิธี	ตำแหน่งการคุณภาพ	ค่าพลังงาน (a.u.)	ค่าพลังงานการคุณภาพ		ระยะห่างจาก $\text{Ti}_c$	ประจุบน Pt
			(a.u.)	(eV)		
DFT	Free $\text{TiO}_2$	-2030.6419				
	Pt on-top	-2149.7815	-0.0828	-2.25	2.3866	0.4929
	Pt Ti hollow	-2149.7906	-0.0919	-2.50	2.6260	0.1691
	Pt O hollow	-2149.8161	-0.1173	-3.19	2.7423	0.3337
HF	Free $\text{TiO}_2$	-2017.2010				
	Pt on-top	-2135.5012	-0.1752	-4.77	2.5932	0.5288
	Pt Ti hollow	-2135.5680	-0.2420	-6.59	2.8340	0.1910
	Pt O hollow	-2135.5900	-0.2640	-7.18	2.8173	0.5873
MP2	Free $\text{TiO}_2$	-2022.7333				
	Pt on-top	-2141.1899	-0.2636	-7.17	2.3956	0.4916
	Pt Ti hollow	-2141.2195	-0.2932	-7.98	2.5725	0.2676
	Pt O hollow	-2141.1856	-0.2593	-7.06	2.8734	0.5543
Pt	DFT	-119.0569				
	HF	-118.1250				
	MP2	-118.1930				

ค่าที่ได้จากวิธี MP2 กลับให้อันดับความเสถียรแตกต่างจาก 2 วิธีข้างต้น โดยทำนายว่าตำแหน่งที่เสถียรที่สุดคือตำแหน่ง Ti hollow ซึ่งมีค่าพลังงานการคูดซับสูงถึง 7.98eV ตามมาด้วยตำแหน่ง on-top และ O hollow ตามลำดับ แต่ความแตกต่างระหว่างค่าพลังงานที่ได้ในแต่ละตำแหน่งก็ไม่ต่างกันมากนัก อย่างไรก็ตามเมื่อเปรียบเทียบกับผลการทดลองที่ได้จากการทดลองที่ต่างๆ ซึ่งตีความว่าตำแหน่งที่เสถียรที่สุดน่าจะเป็นตำแหน่ง on-top ซึ่งไม่ตรงกับผลที่ทำนายได้โดยทั้ง 3 วิธีนี้

วิธีที่จะใช้ในการทดลองส่วนคือวิธี DFT เนื่องจากให้ความแตกต่างของพลังงานในระดับเดียวกับ MP2 และค่าที่ได้ก็ให้ผลใกล้เคียงกับที่ทำนายได้โดย Iddir และคณะ [31]

### 4.3 การคูดซับของพลาทินัมคลัสเตอร์ ( $Pt_4$ - $Pt_5$ ) บนพื้นผิวไทเทเนียมไดออกไซด์

การทดลองในขั้นตอนนี้เกี่ยวข้องกับการคูดซับของพลาทินัมคลัสเตอร์ 2 ลักษณะคือ  $Pt_4$  และ  $Pt_5$  บน  $TiO_2$  ในรูปที่ 3.4 และ 3.5 ผลการทดลองที่ได้จากการคำนวณในขั้นตอนนี้วิเคราะห์และรวมรวมไว้ในตารางที่ 4.3

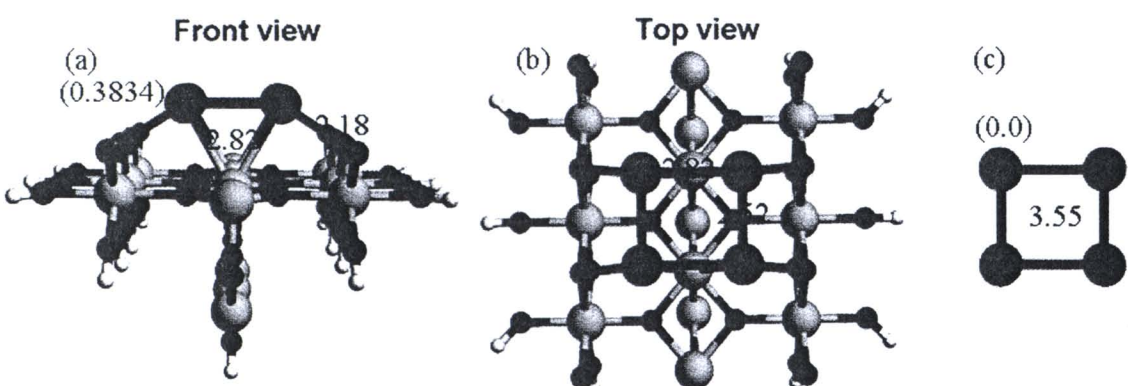
ตารางที่ 4.3 ค่าที่ได้จากการวิเคราะห์ผลจากการคำนวณการคูดซับของพลาทินัมคลัสเตอร์บนพื้นผิว  $TiO_2$

ค่าพลังงาน	$Pt_4$ (plana)		$Pt_5$ (pyramidal)	
	ต่อคลัสเตอร์	ต่ออะตอม	ต่อคลัสเตอร์	ต่ออะตอม
แบบจำลองทั้งหมด (a.u.)	-3800.8460		-3920.0511	
พลาทินัมคลัสเตอร์ (a.u.)	-476.5664		-595.7203	
พลาทินัมคลัสเตอร์อิสระ (a.u.)	-476.5941		-595.7549	
ค่าปฏิสัมพันธ์ระหว่าง Pt และ $TiO_2$ (eV)	-7.8251	-1.9563	-9.2166	-1.8433
ค่าปฏิสัมพันธ์ระหว่าง Pt และ Pt (eV)	-9.2212	-2.3053	-11.8617	-2.3723
Relaxation energy (eV)	0.7526	0.1882	0.9415	0.1883
Net stabilization energy (eV)	-16.2936	-4.0734	-20.1369	-4.0274
ค่าพลังงานคูดซับของพลาทินัมจำนวน n อะตอม				
ณ ตำแหน่ง O hollow (eV)	-12.7706	-3.1926	-15.9632	-3.1926
ประจุบนพลาทินัมคลัสเตอร์	1.5336	0.3834	1.7960	0.3592

ค่าปฏิสัมพันธ์ระหว่าง Pt และ  $TiO_2$  คือค่าการดึงดูดระหว่างพลาทินัมคลัสเตอร์และไทเทเนียมไดออกไซด์ ค่าปฏิสัมพันธ์ระหว่าง Pt และ Pt คือค่าแรงดึงดูดที่กระทำภายในคลัสเตอร์เอง ค่า relaxation energy คือค่าพลังงานที่จะได้รับเมื่อปล่อยพลาทินัมคลัสเตอร์จากสภาพที่มีความคื้นไปยังสภาพสุญญาการ ส่วน Net stabilization energy คือค่าความต่างของพลังงานของทั้งระบบก่อนและหลังจากเกิดการคูดซับของคลัสเตอร์บนพื้นผิว  $TiO_2$  ซึ่งเมื่อนำค่านี้ไปเปรียบเทียบกับค่าพลังงานคูดซับซึ่งพลาทินัมอะตอมจำนวนเท่ากับที่มีอยู่ในคลัสเตอร์คูดซับลงบนพื้นผิว  $TiO_2$  อย่างเป็นอิสระต่อกัน ก็จะสามารถบอกได้ว่าพลาทินัมชอบที่จะรวมตัวกันเป็นคลัสเตอร์หรือแยกอยู่เป็นอะตอมเดียวๆ บน

พื้นผิว  $\text{TiO}_2$  ซึ่งหากค่า net stabilization energy มีค่ามากกว่าก็เท่ากับว่าพลาทินัมอะตอมชอบที่จะเกาะรวมกันเป็นคลัสเตอร์มากกว่าที่จะเกาะอยู่อย่างโดดเดี่ยว

โครงสร้างที่แสดงของ  $\text{Pt}_4/\text{TiO}_2$  ดังแสดงในรูปที่ 4.2 แสดงให้เห็นว่าพลาทินัมอะตอมในคลัสเตอร์สามารถจัดเรียงตัวกันได้เป็นอย่างดีบนที่ตำแหน่ง O hollow เมื่อเปรียบเทียบกับการคุณภาพของพลาทินัมอะตอมที่ตำแหน่งนี้พบว่าระยะห่างระหว่างพลาทินัมอะตอมและ  $\text{Ti}_4$  ยาวขึ้นเล็กน้อยจาก  $2.74\text{\AA}$  เป็น  $2.82\text{\AA}$  ค่าพลังงานคุณภาพระหว่างพลาทินัมคลัสเตอร์และ  $\text{TiO}_2$  มีค่าเท่ากับ  $1.96\text{eV}$  ซึ่งน้อยกว่าค่าพลังงานคุณภาพของพลาทินัมอะตอมเดียวๆ บนพื้นผิว ซึ่งมีค่าสูงถึง  $3.19\text{eV}$  แต่อย่างไรก็ตามเมื่อพิจารณาจากลักษณะของ พลาทินัมอะตอมในคลัสเตอร์เทียบกับในอะตอมเดียวจะพบว่ามีเลื่อนตำแหน่งเข้าหากัน ซึ่งแสดงถึงแรงดึงดูดระหว่างกันเองของพลาทินัมอะตอม โดยค่าพลังงานปฏิกิริยาพันธ์ในหมวดนี้นับได้ว่าสูงที่สุดในบรรดาพลังงานดึงดูดทั้งหมด



รูปที่ 4.2 (a) และ (b) โครงสร้างสเกลียรของ  $\text{Pt}_4$  คลัสเตอร์บนพื้นผิว  $\text{TiO}_2$  (c) โครงสร้างของ plana  $\text{Pt}_4$  ในสุญญากาศ

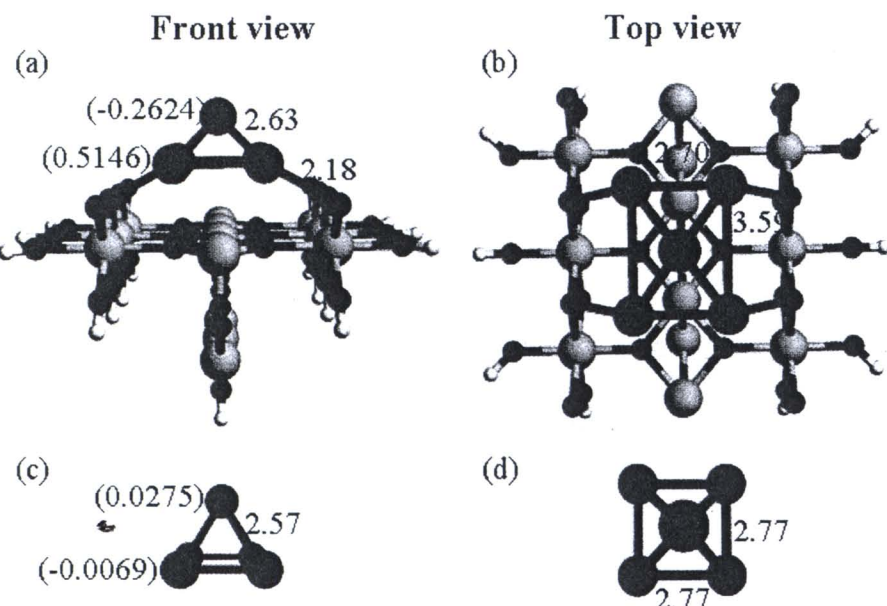
จากรูปที่ 4.2 (c)  $\text{Pt}_4$  คลัสเตอร์ในโครงสร้าง plana มีระยะห่างระหว่างอะตอมเท่ากับ  $3.55\text{\AA}$  บน  $\text{TiO}_2$  โครงสร้างของคลัสเตอร์เกิดการบิดเบี้ยวไปโดยเหลือระยะห่างระหว่างกันเพียง  $2.82\text{\AA}$  และ  $2.52\text{\AA}$  ถึงแม่โครงสร้างจะต่างกันค่อนข้างมากแต่กลับพบว่าค่า relaxation energy มีค่าเพียงแค่  $0.75\text{eV}$  เมื่อรวมค่าพลังงานทั้งหมดเข้าด้วยกันแล้วพบว่าค่า net stabilization energy สูงกว่าค่าพลังงานที่ได้รับจากการคุณภาพของพลาทินัมอะตอม 4 อะตอมแยกกัน ดังนั้นจึงสามารถสรุปได้ว่าพลาทินัมชอบที่จะรวมกันเป็นคลัสเตอร์มากกว่าจะแยกอยู่เป็นอะตอม

อีกประเด็นหนึ่งที่น่าสนใจคือการที่พลาทินัมทุกอะตอมมีประจุบวก ซึ่งหมายความว่าเกิดการถ่ายเทของอิเล็กตรอนจากพลาทินัมอะตอมไปยัง  $\text{TiO}_2$  หรือพลาทินัมมี work function ต่ำกว่า  $\text{TiO}_2$  การคืนพนน์สอดคล้องกับผลการทดลองของ Sasahara และคณะ [34] ปรากฏการณ์นี้อาจเกิดขึ้นได้เนื่องจากสาเหตุ 2 ประการ ประการแรกคือเกิดการเหนี่ยวนำเนื่องจาก electronic interaction ในระยะสั้น ซึ่งการเหนี่ยวนำจะเกิดขึ้นจากสนามไฟฟ้าที่เกิดขึ้นที่พื้นผิว  $\text{TiO}_2$  ซึ่งดึงดูดอิเล็กตรอนเข้าหากันพื้นผิว

ของมัน อีกสาเหตุที่เป็นไปได้คือการที่พลาทินัมคลัสเตอร์มีความเป็นอิสระซึ่งอาจเกิดได้ในคลัสเตอร์ของโลหะที่มีขนาดเล็ก ในโลหะคลัสเตอร์ขนาดเล็กจะมีปริมาณของออร์บิทัลไม่มากพอที่จะสร้างเป็นแบบอิเล็กตรอนได้ ดังนั้นระดับพลังงานของอิเล็กตรอนในคลัสเตอร์จึงต่างจากในโลหะ

ข้อมูลหนึ่งที่จะช่วยในการวิเคราะห์ทิศทางการเคลื่อนที่ของอิเล็กตรอนได้ก็คือค่า Highest Occupied Molecular Orbital (HOMO) และ ค่า Lowest Unoccupied Molecular Orbital (LUMO) ค่า HOMO และ LUMO ของพลาทินัมคลัสเตอร์ที่ได้จากการคำนวณคือ -0.2147 a.u. และ -0.1583 a.u. ตามลำดับ ส่วน HOMO และ LUMO ของ  $TiO_2$  คือ -0.2206 a.u. และ -0.2038 a.u. ตามลำดับ จากข้อมูลดังกล่าว ค่า HOMO ของพลาทินัมมีค่าสูงกว่า LUMO ของ  $TiO_2$  ในขณะที่ LUMO ของพลาทินัมมีค่าสูงกว่าค่าอื่นๆ ค่อนข้างมาก จึงเกิดการถ่ายเทของอิเล็กตรอนจากพลาทินัมไปยัง  $TiO_2$  จากค่าที่ได้นี้ คำอธิบายที่น่าจะเป็นไปได้สำหรับกรณีนี้คือการมีคุณสมบัติเป็นอิสระของพลาทินัมคลัสเตอร์

สำหรับ  $Pt_5$  คลัสเตอร์ คลัสเตอร์อิสระในสัญญาการมีโครงสร้างแบบปริમิดฐานสี่เหลี่ยมแบบสมบูรณ์ ในขณะที่คลัสเตอร์บนไทเทเนียมไดออกไซด์มีโครงสร้างซึ่งฐานของปริมิดถูกทำให้ขึ้นไป (Elongated pyramidal) ดังแสดงในรูปที่ 4.3 โดยที่ระยะห่างระหว่างพลาทินัมสองอะตอมที่อยู่ในแนวเดียวกับ bridging oxygen ยาวมากกว่าออกซิเจนทั้ง 2 อะตอมนั้น ดังนั้นหากพิจารณาว่าคลัสเตอร์นี้เป็นหน่วยพื้นฐาน (building block) จะพบว่าจะเกิดความไม่เข้ากันของโครงสร้างเป็นอย่างมาก แต่อย่างไรก็ตามค่า relaxation energy ก็ยังนับว่ามีค่าน้อย เมื่อเทียบกับค่าปฏิสัมพันธ์อื่นๆ และค่านี้ก็ใกล้เคียงกับค่าใน  $Pt_4$  คลัสเตอร์



รูปที่ 4.3 (a) และ (b) โครงสร้างที่เสียรูของ  $Pt_5$  คลัสเตอร์บนพื้นผิว  $TiO_2$  (c) โครงสร้างของ  $Pt_5$  คลัสเตอร์ในสัญญาการ

จากข้อมูลในตารางที่ 4.3 จะพบว่าค่าแรงดึงดูดระหว่างพลาทินัมคลัสเตอร์และ  $TiO_2$  มีค่ามากขึ้นเมื่อคลัสเตอร์มีขนาดใหญ่ขึ้นถึงแม้ว่าแรงดึงดูดต่ออะตอมของพลาทินัมจะมีค่าลดลง ค่าแรงดึงดูดที่ลดลงนี้น่าจะเกิดจากการมีปฏิสัมพันธ์กันโดยตรงของพลาทินัมที่อยู่ห่างจากพื้นผิวออกไปมีค่าน้อยลง ค่าปฏิสัมพันธ์ที่เป็นหลักต่อ net stabilization energy ยังคงเป็นค่าแรงดึงดูดระหว่างพลาทินัมอะตอม ด้วยกันเอง

เมื่อเปรียบเทียบกับ net stabilization energy ต่ออะตอมระหว่างคลัสเตอร์ทั้งสองพบว่าค่านี้ใน  $Pt_5$  มีค่าน้อยกว่า  $Pt_4$  แต่ก็ยังคงมากกว่าค่าความเสถียรที่จะได้จากการแยกกันทางของพลาทินัมอะตอมบนพื้นผิว  $TiO_2$  ซึ่งทำให้สามารถสรุปได้ว่าพลาทินัมชอบที่เกาะกันเป็นคลัสเตอร์มากกว่ากระจายตัวเป็นอะตอม แต่ข้อมูลที่ได้ไม่สามารถนำไปสรุปรูปแบบความน่าจะเป็นของการเติบโตว่าจะเป็นแบบชั้นเดียว (monolayer) หรือแบบเกาะ (island) ได้

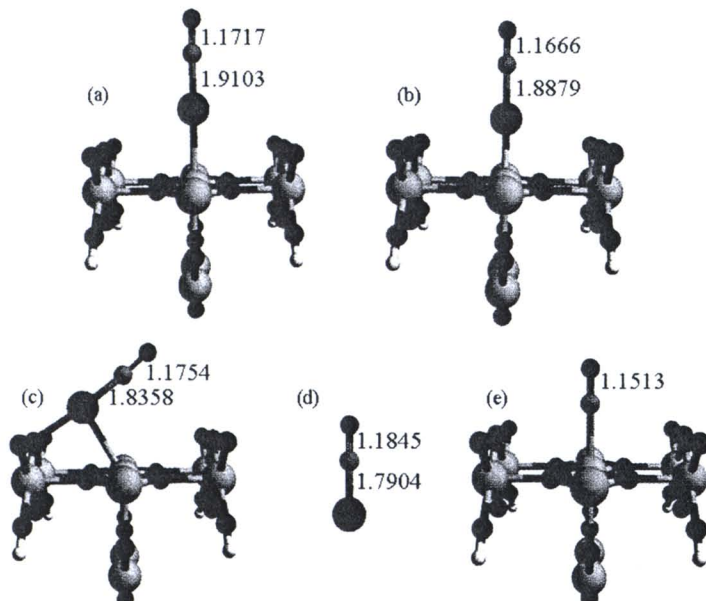
การคำนวณยังคงให้ค่าประจุรวมบน  $Pt_5$  เป็นบวกอยู่ดังเช่นบน  $Pt_4$  แต่การกระจายของประจุของคลัสเตอร์  $Pt_5$  ในทั้งสองลักษณะกลับต่างกัน สำหรับคลัสเตอร์ในสัญญาการพนว่าพลาทินัมอะตอมถ่ายเทอิเล็กตรอนให้แก่อะตอมที่ด้านฐานและทำให้มีความเป็นบวกอยู่เล็กน้อย แต่บน  $TiO_2$  พลาทินัมที่อยู่ด้านบนกลับมีประจุเป็นลบค่อนข้างมาก ค่า HOMO และ LUMO ของ  $Pt_5$  เท่ากับ -0.2071 a.u. -0.1639 a.u. ตามลำดับ เมื่อเทียบกับค่านี้ของ  $Pt_4$  จะพบว่าซ่องว่าระหว่างค่าทั้งสองมีค่าน้อยลง หรือซ่องว่าระหว่างทั้งสองอร์บิทอลนี้มีค่าลดลง แต่เมื่อเทียบกับค่าของ  $TiO_2$  ก็ยังพบว่ายังมีค่าสูงกว่าอยู่ค่อนข้างมาก จึงเกิดการถ่ายเทของอิเล็กตรอนไปยังพื้นผิว  $TiO_2$  แต่การที่มีการกระจายของอิเล็กตรอนไปยังพลาทินัมอะตอมด้านบนแสดงให้เห็นว่าสภาพแวดล้อมใกล้เคียง (Local environment) ที่มีผลต่อการกระจายตัวของอิเล็กตรอน เช่นกัน

#### 4.4 การดูดซับของการรับอนุมอนนอกใช้ด้บน $Pt/TiO_2$

การวิเคราะห์ผลการทดลองในหัวข้อนี้แบ่งออกเป็น 2 ประเด็นคือ ผลของ  $TiO_2$  ต่อการดูดซับของ CO บน  $Pt/TiO_2$  และผลต่อการดูดซับของ Pt บน  $TiO_2$  นอกจากนี้ยังมีประเด็นเสริมอีกหนึ่ง ประเด็นคือผลของการรับอนุมอนนอกใช้ด้ต่อ relaxation ของพลาทินัมคลัสเตอร์

โครงสร้างและผลการวิเคราะห์จากการ optimization โครงสร้างของการดูดซับของการรับอนุมอนนอกใช้ด้บนพลาทินัมอะตอมบน  $TiO_2$  แสดงอยู่ในรูปที่ 4.4 และตารางที่ 4.4 โครงสร้างที่ปรากฏในการทดลองนี้อาจไม่ใช่รูปแบบของการดูดซับที่เสถียรที่สุดของ CO บน  $Pt/TiO_2$  เนื่องจากไม่ได้มีวัตถุประสงค์ที่จะหารูปแบบโครงสร้างแบบที่เหมาะสมที่สุด แต่เป็นเพียงการสังเกตสิ่งที่เกิดขึ้นเมื่อเกิดการดูดซับขึ้นเท่านั้น ผลการทดลองที่รวมไว้ในตารางที่ 4.4 แสดงให้เห็นว่าสภาพแวดล้อมของพลาทินัมอะตอมมีผลต่อค่าปฏิสัมพันธ์กับการรับอนุมอนนอกใช้ด้เป็นอย่างมาก โดยสภาพที่เกิดการดูดซับการรับอนุมอนนอกใช้ด้ได้ที่สุดคือพลาทินัมอะตอมที่อยู่ในสัญญาการโดยที่การดูดซับบน

พลาทินัมที่อยู่ที่ตำแหน่ง on-top และ Ti hollow ให้ค่าพลังงานคูดซับเพียงประมาณครึ่งหนึ่งของค่านั้น เมื่อเทียบระหว่างการคูดซับบน Pt/TiO<sub>2</sub> ด้วยกันพบว่า CO คูดซับบนพลาทินัมบนตำแหน่ง O hollow ได้ดีที่สุด ตามมาด้วยการคูดซับที่ตำแหน่ง Ti hollow และตำแหน่ง on-top ตามลำดับ ค่าพลังงานการคูดซับยังมีความสัมพันธ์โดยตรงกับความยาวพันธะระหว่าง CO และพลาทินัมอะตอมอีกด้วย ปรากฏการณ์ที่เกิดขึ้นทั้งหมดนี้สามารถอธิบายได้ด้วยประจุบนพลาทินัมอะตอมก่อนที่จะเกิดการคูดซับของ CO ไม่เลกูลซึ่งทั้งหมดมีประจุเป็นบวก ส่วนในกรณีของพลาทินัมบน O hollow นั้นการที่พื้นผิวของ TiO<sub>2</sub> เช่นมาจากการคูดซับโดยตรงกับ CO ด้วยจึงทำให้ได้ค่าแรงดึงดูดซึ่งใกล้เคียงกับการคูดซับบนพลาทินัมอะตอมในสุญญากาศ



รูปที่ 4.4 โครงสร้างที่เสถียรของการคูดซับของ CO บน (a) ตำแหน่ง on-top (b) ตำแหน่ง Ti hollow (c) ตำแหน่ง O hollow (d) พลาทินัมอะตอม (e) พื้นผิว TiO<sub>2</sub>

การคูดซับของคาร์บอนไดออกไซด์บนพื้นผิวโลหะเป็นตามทฤษฎีของ Blyholder [2] ซึ่งแรงดึงดูดหลักระหว่างคาร์บอนมอนอกไซด์และโลหะเกิดขึ้นจากกลไก back donation ของอิเล็กตรอนจากโลหะไปยัง  $\pi^*$  ของคาร์บอนมอนอกไซด์ ซึ่งกลไกที่เกิดนี้จะทำให้เกิดการอ่อนลงของพันธะระหว่างคาร์บอนและออกซิเจนอะตอมและทำให้พันธะภายในไมเลกูลของคาร์บอนมอนอกไซด์ขยายขึ้น



ตารางที่ 4.4 ค่าพลังงานคูดซับและข้อมูลอื่นๆ ที่เกี่ยวข้องของการคูดซับ CO บน Pt/TiO<sub>2</sub> บนพลาทินัมอะตอม และบน TiO<sub>2</sub>

		ค่าแทนงการคูดซับของ CO				
		Ti hollow	O hollow	Pt	Pt อะตอม	TiO <sub>2</sub>
	On-top Pt	Pt	Pt			
Energy	Overall model (a.u.)	-2263.1072	-2263.1400	-2263.2212	-232.4716	-2143.9566
	CO (a.u.)	-113.2778	-113.2779	-113.2777	-113.2773	-113.2774
	Substrate (a.u.)	-2149.7731	-2149.7865	-2149.8152	-119.0569	-2030.6419
	CO adsorption (eV)	-1.5318	-2.0568	-3.4913	-3.7385	-1.0163
Distance	C-O	1.1717	1.1666	1.1754	1.1834	1.1513
	Pt-CO	1.9103	1.8879	1.8358	1.7904	
Charge	on Pt, without CO	0.4257	0.1884	0.2977	0.0000	
	on Pt, with CO	0.4213	0.3334	0.5146	0.1850	
	on CO	-0.2206	-0.1911	-0.2016	-0.1850	

ค่าพลังงานของโมเลกุล CO คือ -113.2778 a.u. และพันธะระหว่างคาร์บอนและออกซิเจนคือ 1.665 Å

ผลการทดลองที่ได้สอดคล้องกับแบบจำลองข้างต้นซึ่งค่าพลังงานคูดซับของคาร์บอนอนอนนอกไซด์มีค่าเปลี่ยนไปตามประจุของพลาทินัม แต่อย่างไรก็ตามกึ่งคงมีแรงปฏิสัมพันธ์อื่นๆ เข้ามาเกี่ยวข้องด้วย เช่น แรงปฏิสัมพันธ์โดยตรงจากพื้นผิว TiO<sub>2</sub> เมื่อผลการทดลองจะแสดงถึงความแตกต่างอย่างชัดเจนระหว่างแรงดึงดูดระหว่างพลาทินัมและการรับอนอนนอกไซด์ แต่ผลดังกล่าวกลับก่อให้เกิดความเปลี่ยนแปลงของความยาวพันธะภายใน CO โมเลกุลเพียงเล็กน้อย การเกิดพันธะระหว่างพลาทินัมและการรับอนอนนอกไซด์ก่อให้เกิดประจุลบขึ้นประมาณ -0.2 บนโมเลกุลของคาร์บอนอนนอกไซด์แต่กลับทำให้ความยาวพันธะยาวขึ้นเพียง 0.01 Å เท่านั้น

บน TiO<sub>2</sub> ผลที่เกิดขึ้นกลับตรงกันข้ามกับบนพลาทินัมอะตอม ซึ่งเมื่อเกิดการคูดซับขึ้นกลับเกิดการถ่ายเทของอิเล็กตรอนจาก CO ไปยัง TiO<sub>2</sub> การเกิดปฏิกิริยาเช่นนี้ทำให้พันธะภายในของ CO สั้นลงเนื่องจากไม่มีการถ่ายเทของอิเล็กตรอนตามปกติ ไก back donation เกิดขึ้น การคูดซับในกรณีจึงเป็นเพียงการคูดซับทางกายภาพ (physisorption) แรงดึงดูดที่เกิดขึ้นจึงน้อยและน้อยกว่าแรงปฏิกิริยาที่เกิดขึ้นบน Pt/TiO<sub>2</sub> ในทุกกรณี ดังนั้น CO จึงควรที่จะคูดซับบนพลาทินัมอะตอมในระบบที่มีพลาทินัมอะตอมบนพื้นผิว TiO<sub>2</sub> ในทุกกรณีเช่นกัน

ค่าที่แสดงในตารางที่ 4.5 คือผลการศึกษาเพิ่มเติมเพื่อพิจารณาถึงผลของการคูดซับของ CO บน Pt/TiO<sub>2</sub> ผลที่ได้แสดงให้เห็นว่าการคูดซับของการรับอนอนนอกไซด์บนพลาทินัมอะตอมทำให้ปฏิสัมพันธ์ของพลาทินัมกับ TiO<sub>2</sub> ลดลง ผลของการคูดซับของการรับอนอนนอกไซด์ทำให้ความห่าง

ระหว่างพลาทินัมอะตอมและ  $TiO_2$  มากขึ้น นอกจากนี้ยังทำให้แรงดูดซับลดลงเป็นอย่างมากด้วย โดยเฉพาะกับพลาทินัมที่อยู่ที่ตำแหน่ง on-top และ Ti hollow ซึ่งค่าปฏิสัมพันธ์ที่น้อยอาจหมายถึงการหลุดออกไปจากพื้นผิวของ  $TiO_2$  ของพลาทินัมและการบอนมอนออกไซด์ มีเพียงการดูดซับของ การบอนมอนออกไซด์บนพลาทินัมที่ตำแหน่ง O hollow เท่านั้นที่เกิดการเปลี่ยนแปลงน้อย ซึ่งสิ่งนี้ เป็นสิ่งที่สามารถอธิบายได้ด้วยทฤษฎี transition state stabilization theory

ทฤษฎี transition state stabilization theory อธิบายไว้ว่าพันธะระหว่างลิเกนด์และอะตอมกลาง ซึ่งอยู่ตรงข้ามกับพันธะที่เกิด back-donation จะอ่อนกว่าปกติ และลิเกนด์ที่ตำแหน่งนั้นจะหลุดออกได้ ง่ายกว่าเมื่อเทียบกับโมเลกุลอื่นที่อยู่ตรงข้ามกับพันธะแบบ  $\sigma$  ตามปกติ ทั้งนี้เนื่องจากความหนาแน่นของอิเล็กตรอนในทิศทางที่ตรงกันข้ามกับพันธะที่เกิด back-donation จะน้อยกว่าปกติ ดังนั้นพันธะนั้นจึงอ่อน ซึ่งในระบบของ CO-Pt/TiO<sub>2</sub> อะตอมที่ถือว่าเป็นอะตอมกลางก็คือพลาทินัม เมื่อเกิดการดูดซับกับ CO จะเกิดการสร้างพันธะแบบ donation และ back-donation ขึ้น ดังนั้นพันธะค้านตรงข้ามกับ CO ซึ่งก็คือพันธะระหว่างไทเทเนียมและพลาทินัมอะตอมจึงอ่อนลงเป็นอย่างมาก โดยเฉพาะที่ตำแหน่ง on-top ที่เกิดการสร้างพันธะอยู่ตรงข้ามกันพอดี ที่ตำแหน่ง Ti Hollow พันธะระหว่างไทเทเนียมและพลาทินัมไม่ได้อยู่ตรงข้ามกันพอดีจึงได้รับผลน้อยกว่า ส่วนการดูดซับบนพลาทินัมที่ตำแหน่ง O hollow นั้น แรงปฏิสัมพันธ์หลักของพลาทินัมเกิดขึ้นผ่านออกซิเจนอะตอมโดยการสร้างพันธะ  $\sigma$ -donation จากออกซิเจนจึงได้รับผลกระทบน้อยที่สุด

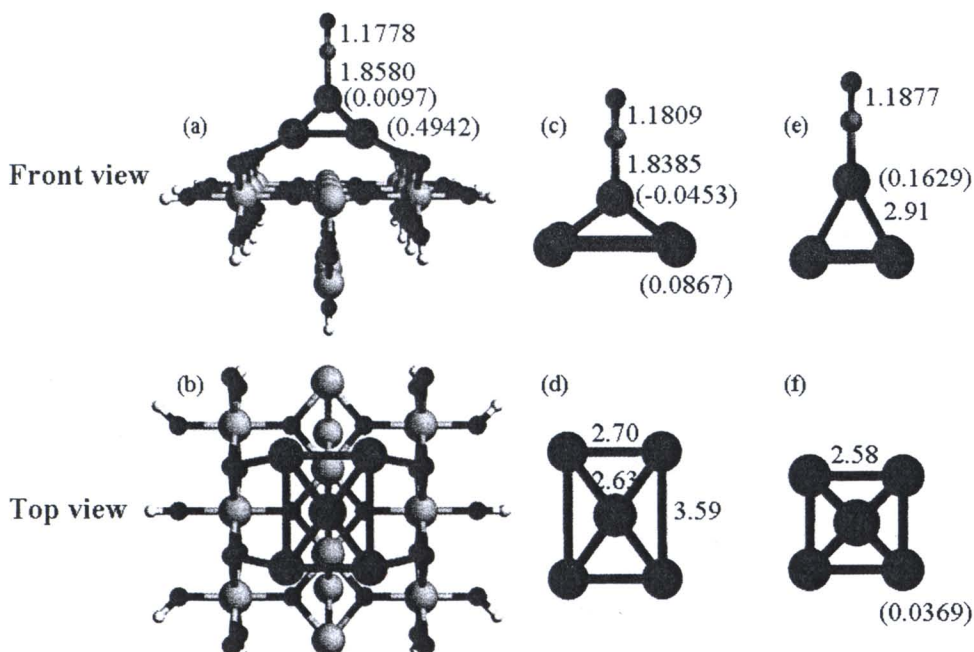
ตารางที่ 4.5 ค่าพลังงานการดูดซับที่คำนวณได้และค่าอื่นๆ ที่เกี่ยวข้องของ CO บน Pt/TiO<sub>2</sub>

		ตำแหน่งการดูดซับของพลาทินัม		
		On-top	Ti Hollow	O hollow
พลังงาน	แบบจำลองห้องทดลอง (a.u.)	-2263.1072	-2263.1400	-2263.2212
	PtCO (a.u.)	-232.4643	-232.4663	-232.4702
	พื้นผิว $TiO_2$ (a.u.)	-2030.6419	-2030.6419	-2030.6419
	แรงปฏิสัมพันธ์ของ PtCO (eV)	-0.0270	-0.8652	-2.9706
	การดูดซับของ Pt ในกรณีไม่มี CO(eV)	-2.2521	-2.5008	-3.1927
ระยะห่างจาก Ti <sub>c</sub>	ก่อนการดูดซับ CO	2.3866	2.5932	2.7423
	หลังการดูดซับ CO	2.6866	2.6254	2.8207

ค่าปฏิสัมพันธ์ระหว่างพลาทินัมและ  $TiO_2$  ที่ตำแหน่ง O hollow หลังจากเกิดการดูดซับกับ CO นั้นยังคงสูงอยู่และยังคงสูงกว่าแรงปฏิสัมพันธ์ระหว่างพลาทินัมที่ตำแหน่ง on-top และ Ti hollow ก่อนที่จะเกิดการดูดซับกับ CO ซึ่งในกรณีการดูดซับของ CO จะทำให้เกิดการเคลื่อนที่ที่ดีขึ้นของพลาทินัมอะตอมบนพื้นผิว  $TiO_2$

สำหรับการศึกษาผลการคุณภาพของ CO บนระบบ Pt<sub>5</sub> ดังแสดงในรูปที่ 4.5 และตารางที่ 4.6 แสดงให้เห็นถึงผลของ TiO<sub>2</sub> ได้อย่างชัดเจนเช่นกัน โดยค่าพลังงานคุณภาพระหว่าง CO บน Pt<sub>5</sub>/TiO<sub>2</sub> น้อยกว่าค่าพลังงานการคุณภาพบนคลัสเตอร์อิสระ การเปรียบเทียบระหว่างโครงสร้างที่มีการบังคับโครงสร้าง (Strained) กับโครงสร้างที่สามารถเคลื่อนที่ได้อย่างอิสระต่างกันเป็นเท่าตัว ดังนั้นจึงสามารถสรุปได้ว่าความเกินของโครงสร้างซึ่งเกิดขึ้นโดย TiO<sub>2</sub> มีผลเป็นอย่างมากต่อการคุณภาพของ CO ซึ่งผลของความเกินนี้สามารถอธิบายได้ด้วยการเกิดการจัดเรียงตัวใหม่ (reallocation) ของ atomic และ molecular orbital

เมื่อเกิดการบิดเบี้ยวจากโครงสร้างที่เสถียรที่สุดซึ่งเป็นโครงสร้างที่มีระดับพลังงานต่ำที่สุด (ที่ Ground state) ไปยังโครงสร้างที่ถูกบังคับโดย TiO<sub>2</sub> ค่าระดับพลังงานศักย์ของอิเล็กตรอนในโครงสร้างก็จะสูงขึ้น ดังนั้นโครงสร้างทาง electronic ของสารเคมีจะเกิดการเปลี่ยนแปลงไปด้วยเพื่อทำให้เกิดความเสถียรของโครงสร้างมากขึ้น ดังจะเห็นได้จากโครงสร้างของสารที่เสถียรต่างๆ นั้นมีโครงสร้างที่เกิดบิดเบี้ยวไป ในกรณีของ Pt<sub>5</sub> คลัสเตอร์บน TiO<sub>2</sub> โครงสร้างที่เปลี่ยนไปนี้ทำให้ค่า HOMO และ LUMO สูงขึ้นจาก -0.2071a.u. และ -0.1639a.u. ในโครงสร้างอิสระไปยังระดับ -0.1872 a.u. และ -0.1386a.u. ตามลำดับ



รูปที่ 4.5 โครงสร้างเสถียรของการคุณภาพของ CO บนตำแหน่ง (a) และ (b) Pt<sub>5</sub>/TiO<sub>2</sub> (c) และ (d) strained Pt<sub>5</sub> (e) และ (f) Pt<sub>5</sub> คลัสเตอร์อิสระ

ผลลัพธ์ของการคุณค่าการคุณค่าของสารบอนมอนอกไชด์บันคลัสเตอร์บันพื้นผิว  $TiO_2$  มีค่าใกล้เคียงกับในกรณีที่ปราศจาก  $TiO_2$  ซึ่งแสดงถึงผลของปฏิกิริยาระหว่าง  $TiO_2$  และพลาทินัมคลัสเตอร์โดยการถ่ายเทของอิเล็กตรอนจากพลาทินัมไปยังพื้นผิว  $TiO_2$  และเกิดเป็นคลัสเตอร์ที่มีประจุบวก สิ่งที่เกิดขึ้นดังกล่าวทำให้มีปริมาณอิเล็กตรอนน้อยลงเพื่อใช้สร้างพันธะ back-donation

ตารางที่ 4.6 ค่าพลังงานคุณค่าของระบบ  $CO-Pt_5/TiO_2$

		แบบจำลองการคุณค่า		
		$Pt_5/TiO_2$	Strained	คลัสเตอร์อิสระ
พลังงาน	พื้นแบบจำลอง (a.u.)	-4033.3691	-709.0509	-709.1284
	$Pt_5$ (a.u.)	-3920.0511	-595.7203	-595.7488
	$CO$ (a.u.)	-113.2776	-113.2775	-113.2770
	พลังงานคุณค่า (eV)	-1.0999	-1.4439	-2.7909

ผลของการคุณค่าของ  $CO$  ส่งผลเด่นน้อยต่อแรงปฏิกิริยานับของพลาทินัมและ  $TiO_2$  โดยค่าพลังงานคุณค่าลดลงจาก  $-9.22\text{ eV}$  ไปยัง  $-8.88\text{ eV}$  ในกรณีที่มีการคุณค่าของ  $CO$  อย่างไรก็ตามการคำนวณนี้เป็นไปอย่างหมายๆ เนื่องจากมีการบังคับไม่ให้เกิดการเคลื่อนที่ของพลาทินัมอะตอม แต่ผลที่ได้จากการทดลองแสดงให้เห็นว่ามีเพียงพลาทินัมที่อยู่ด้านบนของระนาบท่านั้นที่ได้รับผลกระทบ  $CO$  โดยพบว่าประจุของพลาทินัมอะตอมเพิ่มขึ้นจากเดิมถึง 0.27 ในขณะที่พลาทินัมอะตอมอื่นเกิดการเปลี่ยนแปลงไปค่อนข้างน้อยเพียง 0.2 การทดลองบนคลัสเตอร์อิสระให้ผลในลักษณะเดียวกัน โดยพันธะระหว่างพลาทินัมอะตอมด้านบนและระนาบด้านล่างยาวขึ้นเป็นอย่างมาก ในขณะที่อะตอมที่ฐานเคลื่อนที่เข้าใกล้กันมากขึ้น

เมื่อนำลักษณะที่เกิดขึ้นบนคลัสเตอร์อิสระมาใช้เพื่อนำมาประยุกต์ใช้ที่น่าจะเกิดขึ้นบนแบบจำลอง  $Pt_5TiO_2$  สิ่งที่น่าจะเกิดขึ้นคือการเคลื่อนที่สูงขึ้นของพลาทินัมอะตอมด้านบนและการเคลื่อนที่เข้าหากันของพลาทินัมอะตอมที่ฐาน ซึ่งสิ่งที่เกิดขึ้นเหล่านี้จะทำให้ความเห็นที่เกิดขึ้นบนโครงสร้างของพลาทินัมคลัสเตอร์ลดลงอีกด้วย